

取付管の調圧効果を考慮したサーチャージ流れの水理模型実験

愛媛大学工学部 正員 渡辺政広
 愛媛大学大学院 学生員 ○山内武志
 (株)日立製作所 小池英仁

1. はじめに

都市域の下水道管渠網における取付管の調圧効果を考慮したサーチャージ流れ（圧力流れ）の解析モデル¹⁾を提示し、その適用性の検討を進めている。本報告では、このサーチャージ流れの伝播特性（圧力波伝播速度）について、水理模型実験を行なって検討した結果を述べる。

2. サーチャージ流れの基礎式¹⁾

取付管が多数接続されている実流域の排水管渠（マンホール間の管渠部分）におけるサーチャージ流れの運動方程式および連続式は、それぞれ(1)式および(2)式のように表わされる。ここで、水は非圧縮性で、かつ管壁は弾性変形しないとして取り扱っている。また、マンホールでの流れの基礎式は、(4)式のように表わされる。

$$\frac{1}{g} \cdot \frac{\partial V}{\partial t} + \frac{V}{g} \cdot \frac{\partial V}{\partial x} + \frac{\partial h}{\partial x} - S_0 + \frac{n^2 |V| V}{R^{4/3}} = 0 \quad \dots \dots (1), \quad \frac{\partial h}{\partial t} + \frac{c'^2}{g} \cdot \frac{\partial V}{\partial x} = 0 \quad \dots \dots (2)$$

$$; \quad c' = \sqrt{g \cdot \frac{L}{N} (\sin \theta) \cdot \frac{A}{A_t}} \quad \dots \dots (3), \quad F_M \cdot \frac{dh}{dt} = L(Q_{in}) - L(Q_{out}) \quad \dots \dots (4)$$

ここに、V：断面平均流速、h：管渠底から測った圧力水頭、c'：微小擾乱（圧力波）の伝播速度、R：径深（=D/4）、A、S₀、L、n：排水管渠の断面積、勾配、長さ、Manningの粗度係数、N、θ、A_t：取付管の本数（L当たり）、傾斜角度、断面積、F_M：マンホールの断面積、L(Q_{in})、L(Q_{out})：流入・流出流量の合計、g：重力加速度、x：距離、t：時間、。

今、非常に緩やかな排水管渠の定常サーチャージ流れを想定し、これに微小な水深（圧力水頭）変化h'および流速変化V'が付加されたときの非定常サーチャージ流れを考えると、次のh'に関する流れの基礎式を得る。

$$\frac{\partial^2 h'}{\partial t^2} = c'^2 \cdot \left(\frac{\partial^2 h'}{\partial x^2} \right) \quad \dots \dots (5)$$

(5)式は2階線形の波動方程式であり、したがってc'はサーチャージ流れに付加された微小な擾乱の伝播速度を表わしていることが分かる。

ここで、排水管渠網に多数存在するジャンクション・マンホールを、幾つも（数10～数100本）の取付管が集合したものと考える。この取付管の集合体としての上流端マンホールをも含めた排水管渠におけるサーチャージ流れの伝播速度を(c')'とするとき、(3)式をもとに、(c')'は次式のように表わされる。

$$(c')' = \sqrt{\frac{A}{g \cdot L \cdot \frac{F_M}{N} + A_t / \sin \theta}} \quad \dots \dots (6)$$

3. 水理模型実験

水理模型の概要；排水管渠模型（マンホールを設置しているケース）の概要を図1に示す。排水管渠は、全長約10m、内径10cmの透明アクリル・パイプ製で、管渠頂部には取付管に相当する内径1cmの透明アクリル・パイプが鉛直に取り付けられている。取付管の接続本数は、0～41本まで変えることができる。マンホールは内径15cmの透明アクリル・パイプで、3ヶ所設置されている。排水管渠内の圧力（水位）変動は、管渠底の6地点に設置された圧力測定装置により記録される。

圧力波伝播速度の測定；

静水状態において、上流（下流）端水槽より水位上昇変動を与える、これの排水管渠システム内への伝播状況を記録した例を図2に示す（図中の「印は、反射波の影響の及ばない範囲を示す）。これら水位ハイドログラフより、最上流（最下流）における各水位上昇量 Δh の下流（上流）方向への伝播速度を測定した。

取付管により規定される伝播速度 c' の測定結果を図3に、取付管とマンホールの両者によるその結果を図4に、それぞれ(3)式および(6)式による算定結果（理論値）と対比して示す。これらより、水位上昇の初期においては、取付管あるいはマンホール内の水塊の加速度の影響により、測定値が理論値を上回っているが、これを過ぎると、理論値によく一致してきていることが分かる。以上より、既に提示している(1)～(3)式、ならびにマンホールを取付管の集合体とする実用的な取り扱いの妥当性が明らかとなる。

1) 渡辺・

竹内・川裾：取付管の調圧効果を考慮した下水道管渠網の雨水流出モデル、第33回水理講演会論文集、pp. 157～162、1989。

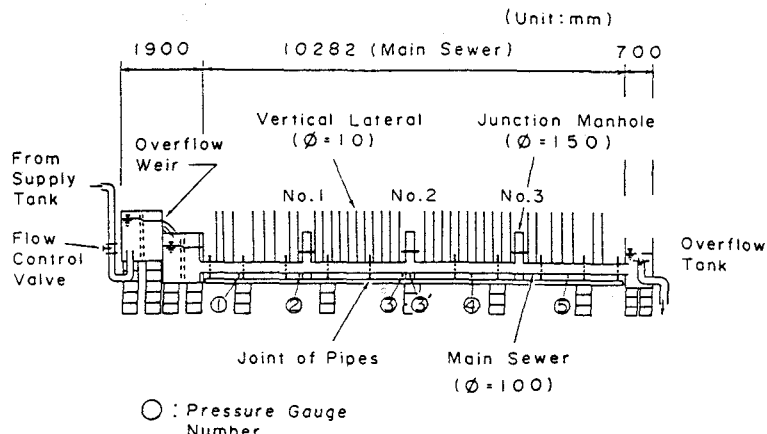


図1 排水管渠模型

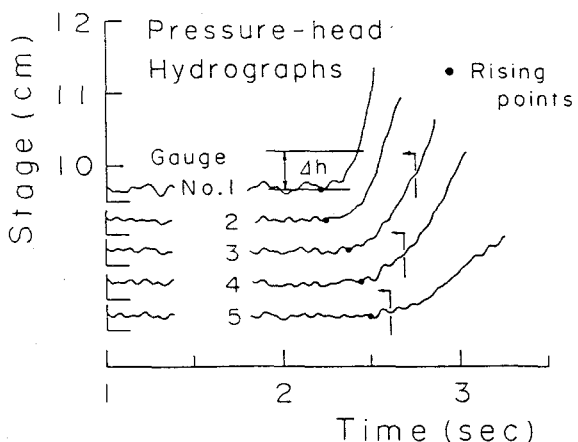


図2 水位ハイドログラフ

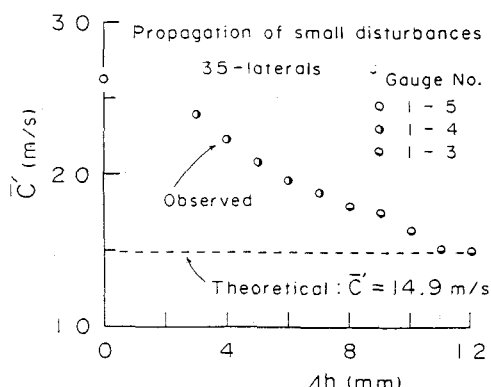


図3 c' の測定・算定結果

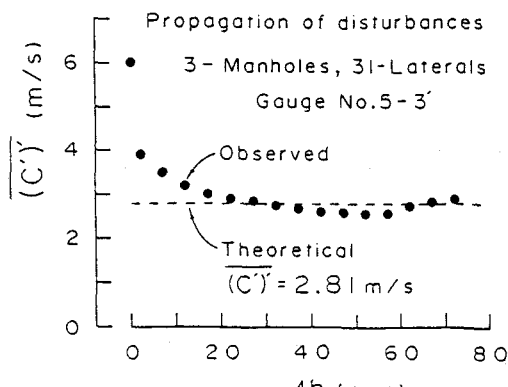


図4 $(c')'$ の測定・算定結果